

孙理华,王娟,等.间充质干细胞来源的外泌体通过microRNA-21-5p调节心脏自噬并影响心肌缺血大鼠的心脏功能[J].中国比较医学杂志,2020,30(5):88-96.

Sun LH, Wang J, Zhang Y, et al. Mesenchymal stem cell-derived exosomes regulate cardiomyocyte autophagy and cardiac function via microRNA-21-5p in rats with myocardial ischemia [J]. Chin J Comp Med, 2020, 30(5): 88-96.

doi: 10.3969/j.issn.1671-7856. 2020. 05. 014

## 间充质干细胞来源的外泌体通过 microRNA-21-5p 调节心脏自噬并影响心肌缺血大鼠的心脏功能

孙理华,王娟,张岳,张颖,幸世峰\*

(新疆医科大学第五附属医院心血管内科,乌鲁木齐 830011)

**【摘要】目的** 探讨间充质干细胞(mesenchymal stem cells, MSCs)分泌的外泌体(exosome, Exos)是否通过miR-21-5p调节心脏自噬并影响心肌缺血大鼠的心脏功能。**方法** 在体外,观察MSCs-Exos对H<sub>2</sub>O<sub>2</sub>刺激H9C2s的影响;通过CCK-8测定法检测细胞活力;流式细胞术检测细胞凋亡;荧光显微镜检测细胞中活性氧(reactive oxygen species, ROS)的产生;免疫印迹分析自噬相关蛋白和荧光GFP-LC3测定自噬体形成。在大鼠MI/RI模型中,通过TUNEL测定、免疫组织化学染色及超声心动图分别检查了MSCs-Exos对细胞凋亡、心肌LC3B表达和心脏功能影响。**结果** 在体外实验中, MSCs-Exos显著提高了H<sub>2</sub>O<sub>2</sub>刺激的H9C2细胞活力( $P<0.05$ ),降低了ROS的产生和细胞凋亡率( $P<0.05$ )。而与H<sub>2</sub>O<sub>2</sub>+MSCs-Exos组相比,H<sub>2</sub>O<sub>2</sub>+MSC-Exos miR-21-5p组细胞活力显著降低( $P<0.01$ ),ROS的产生和细胞凋亡率显著增加( $P<0.01$ )。Western blot检测显示:与H<sub>2</sub>O<sub>2</sub>组相比,H<sub>2</sub>O<sub>2</sub>+MSCs-Exos组LC3B-II/LC3B-I和LC3B-II的表达显著增强( $P<0.01$ ),p62的表达显著降低( $P<0.01$ );与H<sub>2</sub>O<sub>2</sub>+MSCs-Exos组相比,H<sub>2</sub>O<sub>2</sub>+MSC-Exos miR-21-5p组的LC3B-II/LC3B-I和LC3B-II的表达显著降低( $P<0.05$ ),p62的表达显著增强( $P<0.05$ )。自噬通量结果:与H<sub>2</sub>O<sub>2</sub>组比较,H<sub>2</sub>O<sub>2</sub>+MSCs-Exos组细胞中存在的GFP-LC3点数增加;而与H<sub>2</sub>O<sub>2</sub>+MSCs-Exos组相比,H<sub>2</sub>O<sub>2</sub>+MSC-Exos miR-21-5p组细胞中存在的GFP-LC3点数显著降低( $P<0.05$ )。在体内,RT-qPCR分析结果显示:在MSCs-Exos中和MI/RI后心肌组织中miR-21-5p的表达均呈正相关性。与其他各组相比,MI/RI+MSCs-Exos组的LC3B表达显著增强( $P<0.01$ );心肌细胞凋亡显著减少( $P<0.01$ );分数缩短率(FS%)和左心室射血分数(LVEF)均显著提高( $P<0.05$ )。**结论** MSCs-Exos可通过调节心肌自噬改善MI/RI大鼠的心脏功能,其作用机制可能与miR-21-5p转移有关。

**【关键词】** 间充质干细胞;外泌体;microRNA-21-5p;心脏自噬;心肌缺血/再灌注损伤

**【中图分类号】** R-33   **【文献标识码】** A   **【文章编号】** 1671-7856(2020)05-0088-09

## Mesenchymal stem cell-derived exosomes regulate cardiomyocyte autophagy and cardiac function via microRNA-21-5p in rats with myocardial ischemia

SUN Lihua, WANG Juan, ZHANG Yu, ZHANG Ying, XING Shifeng\*

(Department of Cardiovascular Medicine, Fifth Affiliated Hospital of Xinjiang Medical University, Urumqi 830011, China)

**【Abstract】 Objective** To investigate whether exosomes (Exos) secreted by mesenchymal stem cells (MSCs) regulate cardiac autophagy and cardiac function in rats with myocardial ischemia through miR-21-5p. **Methods** *In vitro*,

[基金项目]新疆维吾尔自治区自然科学基金项目(2018D01C308)。

[作者简介]孙理华(1979—),男,硕士,研究方向:心血管疾病临床及基础研究。E-mail:sunxxlan@sohu.com

[通信作者]幸世峰(1973—),男,硕士,研究方向:心血管疾病临床及基础研究工作。E-mail:yhfeng99@126.com

the effect of MSC exos on  $H_2O_2$  stimulated H9C2 cells was observed. Cell viability was detected by the CCK-8 assay, apoptosis was detected by flow cytometry, reactive oxygen species (ROS) production was analyzed by fluorescence microscopy, and autophagy-related proteins and autophagy formation were detected by immunoblotting and fluorescent GFP-LC3. In rat model of myocardial ischemia-reperfusion injury (MI/IR), the effects of MSC exos on cell apoptosis, myocardial LC3b expression, and cardiac function were examined by TUNEL assay, immunohistochemistry, and echocardiography. **Results** *In vitro*, MSC-Exos significantly increased the activity of H9C2s stimulated by  $H_2O_2$  ( $P<0.05$ ) and decreased the production of ROS and the rate of apoptosis ( $P<0.05$ ). Compared with the  $H_2O_2+MSCs$ -Exos group, the cell viability in the  $H_2O_2+MSC$ -ExosMiR<sup>-21-5p</sup> group was significantly decreased ( $P<0.01$ ), whereas ROS production and apoptosis were significantly increased ( $P<0.01$ ). Western blot analysis showed that compared with the  $H_2O_2$  group, the expression of LC3B-II/LC3B-I and LC3B-II in the  $H_2O_2+MSC$ -ExosMiR<sup>-21-5p</sup> group was significantly lower than that in the  $H_2O_2+MSCs$ -Exos group ( $P<0.05$ ), while the expression of p62 was significantly increased ( $P<0.05$ ). Autophagy flux result: Compared with the  $H_2O_2$  group, GFP-LC3 was increased in the  $H_2O_2+MSCs$ -Exos group. Furthermore, Compared with the  $H_2O_2+MSCs$ -Exos group, the number of GFP-LC3 points in the cells of the  $H_2O_2+MSC$ -ExosMiR-21-5p group was significantly reduced ( $P<0.05$ ). *In vivo*, RT-qPCR analysis showed that there was a positive correlation between the expression of miR-21-5p in MSCs-Exos and MI/RI. Compared with other groups, the expression of LC3B in the MI/RI+MSCs-Exos group was significantly increased ( $P<0.01$ ), myocardial apoptosis was significantly reduced ( $P<0.01$ ), and the fraction shortening rate (%FS) and left ventricular ejection fraction (LVEF) were significantly increased ( $P<0.05$ ). **Conclusions** MSCs-Exos can improve cardiac function in MI/RI rats by regulating myocardial autophagy, and its mechanism may be related to miR-21-5p transfer.

**[Keywords]** mesenchymal stem cells; exosomes; microRNA-21-5p; autophagy; myocardial ischemia/reperfusion injury

缺血性心脏病(ischaemic heart disease,IHD)是世界上死亡的主要原因之一<sup>[1]</sup>。及时再灌注是IHD的主要治疗手段,不仅可以减少梗死面积,而且可以提高IHD患者的生存率<sup>[2]</sup>。再灌注也可能导致梗塞扩展,这是心肌缺血/再灌注损伤(myocardial ischemia/reperfusion injury,MI/RI)的主要组成部分之一<sup>[3]</sup>。MSCs是一种多能祖细胞,它可以通过多种机制改善动物IHD模型和IHD患者的心脏功能,然而,移植的MSCs在宿主组织中的存活率很低,并且在目标组织中仅能检测一小部分移植的MSCs<sup>[4-5]</sup>。多项研究表明, MSCs-Exos 在心肌梗死和 MI/RI 后具有心肌保护作用<sup>[6-8]</sup>,而 MSCs-Exos 中的 miRNA 可能为参与心脏保护中的关键因素,因此,Exos miRNA 具有为 MI/RI 治疗提供强有力的治疗靶标的潜力。文献检索显示, MSCs-Exos 中存在几种高度表达的 miRNA,其中,miR-21-5p 是众所周知的抗凋亡 miRNA,它在 MSCs-Exos 中高度表达<sup>[9]</sup>。研究表明,自噬可能保护缺血性心脏病心肌缺血再灌注损伤<sup>[10-11]</sup>,但尚不清楚 MSCs-Exos 是否通过 miR-21-5p 调节 MI/RI 模型中的自噬,从而达到保护心肌的作用。因此,我们假设 miR-21-5p 可能具有下调与细胞死亡/存活相关的特定靶基因的能力,本研究旨在观察 MSCs-Exos 在  $H_2O_2$  诱导的

缺氧 H9C2 细胞(H9C2s)中及在大鼠 MI/RI 模型体内是如何调节心肌的自噬。

## 1 材料和方法

### 1.1 实验动物

成年健康雄性 SPF 级别 SD 大鼠 40 只(4~10 周龄,250~300 g),购自上海 Slac 实验室动物有限公司[SCXK(沪)2018-117];动物饲养在新疆医科大学[SYXK(沪)2016-073],经过新疆医科大学第五附属医院伦理委员会审查(2018049907),对于实验动物实行 3R 原则。

### 1.2 主要试剂与仪器

H9C2 细胞系购自上海生物科学研究所;含 10%FBS 和 1% 青霉素-链霉素的 DMEM/Hi 培养基(北京沃比森科技有限公司,批号:C0662-857);PKH26(美国 Sigma 公司,批号:031224); $H_2O_2$ (美国 Sigma 公司,批号:7722-84-1);CCK-8 溶液(日本 DOJINDO 公司,批号:EJ744);V-PE/7-AAD(美国 eBioscience 公司,批号:XY-1944);GFP-LC3(美国 Addgene 公司,批号:KL-Zl-2078);TUNEL 试剂(瑞士 Roche 公司);TRIzol 试剂盒(日本 TOYOB0 公司,批号:FSQ-201);SeraMir<sup>TM</sup> EVs RNA 提取试剂盒(美国 System Biosciences 公司,批号:15596-

026); SYBR Green Master Mix 试剂盒(美国 Thermo Scientific 公司, 批号: 75762500RX); Exoquick exosome 快速提取试剂盒(美国 Invitrogen 公司, 型号: EXOQ5A-1); 透射电子显微镜(TEM, 日本 Hitachi 公司, 型号: HT7700); qNano 平台(新西兰 IZON Science 公司); DAPI 试剂盒(美国 Sigma 公司, 批号: 28718-90-3); FlowJo 软件(美国 Tree Star 公司); Olympus FV1000 激光扫描共聚焦显微镜(日本 Olympus 公司); PCR 系统(美国 Thermo Scientific 公司); 胎牛血清 FBS、PBS、0.25% 胰蛋白酶-EDTA(美国美国 Gibco 公司); 流式细胞仪(FCM, 美国 BD Biosciences 公司, 批号: 0796-2007)等。

### 1.3 实验方法

#### 1.3.1 MSCs 的分离和培养

采用戊巴比妥(50 mg/kg, 腹膜内注射)麻醉大鼠, 颈脱位处死大鼠。然后在无菌条件下去除胫骨和股骨。切开骨头末端, 并用含有 1%~2% FBS 的 PBS 冲洗骨髓。然后将细胞悬液通过 40 μm 滤网(美国 BD Falcon 公司, 批号: 352340)过滤。将过滤后的悬浮液以 1000 r/min 的速度离心 5 min 后, 将骨髓细胞放在含有 10% FBS 和 1% 青霉素-链霉的 DMEM/F12 培养基中培养。在第 5 天更换培养基以除去非贴壁细胞, 并在两天后进行细胞传代。使用 0.25% 胰蛋白酶-EDTA 传代 MSCs, 并通过流式细胞仪(FCM)进行鉴定, 后续实验使用第三代 MSC 细胞。

#### 1.3.2 MSCs-Exos 提取、鉴定及进入 H9C2 细胞的内在化

将 MSCs 接种在 10 cm 的培养皿中过夜, 待细胞融合度达到 80%, 使用 Exoquick exosome 快速提取试剂盒从细胞中提取 MSCs-Exos, 提取操作严格按照试剂盒说明书执行。使用透射电子显微镜评估 MSCs-Exos 的形态。使用 qNano 平台分析 MSCs-Exos 的大小和浓度。采用 Western blot 检测了 MSCs-Exos 的 LAMP-1、CD9 和 TSG101 蛋白质标记物的表达水平。

将 MSCs-Exos 在 37℃ 的黑暗环境中用 PKH26 标记 15 min, 随后用 PBS 中洗涤 3 次, 并于 4℃ 下, 以 30000 r/min 离心 2 h。然后, 将标记的 Exos(10 μg/mL)置于含 H9C2 细胞的培养皿中分别共孵育 12 h、24 h。用 PBS 洗涤 H9C2 细胞一次, 用含有 4',6-二脒基-2-苯基吲哚(DAPI)的 PBS 进行细胞核染色 5 min。使用荧光显微镜观察 H9C2 细胞摄

取 MSCs-Exos 情况。

#### 1.3.3 MSCs 转染

为了下调 MSCs-Exos 中 miR-21-5p 表达, 用 miR-21-5p 抑制剂(MSC/simmiR-21-5p)及加干扰对照(MSC/scramble)(终浓度为 100 nmol/L)处理 MSCs。使用 Lipofectamine 2000 提高干扰效率。转染 24 h 后弃去培养基, 更换为含 10% FBS 的新鲜培养基继续培养。如上述方法纯化源自 MSC/simmiR-21-5p 及 MSC/scramble 的 Exos。

#### 1.3.4 H9C2 细胞活力测定

检测 MSCs-Exos 及 miR-21-5p 对 H9C2 细胞活力的影响, 首先将 H9C2 细胞分别与含 MSCs-Exos(10 μg/mL)、MSC-Exos simiR-21-5p(10 μg/mL) 及 MSC/scramble-Exos(10 μg/mL) 共培养 12 h, 对照组采用普通培养基, 然后暴露于 H<sub>2</sub>O<sub>2</sub>(500 μmol/L) 12 h; 然后, 将 10 μL CCK-8 溶液加入到细胞中, 再孵育 4 h 后, 使用酶标仪(美国 BioTek 公司, 批号: EL-800)于 450 nm 下测定光密度(OD)值, 计算与对照组的相对值作为细胞存活率或处理细胞的增殖速率。

#### 1.3.5 H9C2 细胞凋亡率测定

通过 FCM 检测膜联蛋白 V-PE/7-AAD 评估 MSCs-Exos 及 miR-21-5p 介导的 H9C2 细胞凋亡的情况, 按照评估 Exos 对细胞生存力影响的实验中所述, 实施了类似的实验组。在预定的时间点, 收集细胞, 用冰冷的 PBS 洗涤两次, 将细胞置于 7-AAD-Percp 和 Annexin V-PE 的 1×Annexin V 结合缓冲液中孵育 15 min。最后, 采用 FCM 检测凋亡并通过 FlowJo 软件进行分析。

#### 1.3.6 自噬体形成的测定

使用 Lipofectamine 2000(美国 Invitrogen 公司, 批号: 13778-075) 将 GFP-LC3 质粒(1 μL/mL) 转染到 H9C2s 中, 然后用 10% 福尔马林固定细胞。采用 Western blot 检测 H9C2s 自噬相关蛋白的表达, 在 Olympus FV1000 激光扫描共聚焦显微镜下观察到 GFP-LC3 荧光, 使用活细胞成像监测自噬通量。

#### 1.3.7 动物实验

##### (1) 动物分组与 MI/RI 模型建立

将 SD 大鼠(n=30)随机分成五组(n=6), 建立大鼠的 MI/RI 模型<sup>[12]</sup>: (1) 假手术组, 对未结扎的大鼠左冠状动脉前降支(LAD)进行缝合; (2) MI/RI 组, 将 LAD 结扎 30 min, 然后再灌注 2 h; (3) MI/RI + MSCs-Exos 组, 在再灌注前 5 min, 使用 30 号针头

的汉密尔顿注射器将溶解于 10  $\mu$ L PBS 中的 MSCs-Exos(5  $\mu$ g)注入可见损伤区域的前部和外侧;(4) MI/RI + MSC-ExossimiR<sup>-21-5p</sup>组,在再灌注前 5 min,使用 30 号针头的汉密尔顿注射器将溶解于 10  $\mu$ L PBS 中的 MSC-ExossimiR<sup>-21-5p</sup>(5  $\mu$ g)注入可见损伤区域的前部和外侧;(5) MI/RI + MSC/scramble-Exos 组,在再灌注前 5 min,使用 30 号针头的汉密尔顿注射器将溶解于 10  $\mu$ L PBS 中的 MSC/scramble-Exos(5  $\mu$ g)注入可见损伤区域的前部和外侧。

### (2) 心肌组织学分析

取心尖附近的心肌组织,用 4% 多聚甲醛固定 48 h,固定后将心肌组织石蜡包埋,切成横截面(6  $\mu$ m),用于 TUNEL 和免疫组织化学染色。采用 DAPI 标记所有细胞核,将 TUNEL 标记的细胞核的细胞视为 TUNEL 阳性细胞,每个切片中阳性细胞的数目是 6 个视野中阳性细胞的平均值,计算结果表示为相对于假手术组获得的阳性细胞的百分比。按照免疫组织化学染色方法处理,然后将载玻片干燥,盖上盖玻片并在显微镜下检查,分析心肌组织中 LC3B 表达情况,相对光密度(ROD)通过 Image pro plus 软件计算为积分光密度(IOD)与测量面积之比。

### (3) RT-qPCR 分析

按说明使用 TRIzol 试剂提取心肌组织中的总 RNA,使用 SeraMir™ EVs RNA 提取试剂盒进行 MSCs-Exos 总 RNA 提取。使用 ReverTra Ace Qpcr RT 试剂盒将每个样品的总 RNA 反转录为 cDNA。使用 SYBR Green Master Mix 试剂盒在 Applied Biosystems 7500 实时 PCR 系统中进行 RT-qPCR 反应。使用 U6 小核仁 RNA 基因的表达用作内部对照,并使用  $2^{-\Delta\Delta Ct}$  方法进行基因表达分析。miR-21-5p 和 U6 的引物是由日本 Takara 公司设计并合成。引物序列如下: miR-21-5p, 正向: 5'-GGCGGTGTA AACATCCTT-3', 反向: 5'-GTCGTATCCAGTGCAGGG TCCGAGGTGTCG-3'; U6, 正向: 5'-CTCGCTTCG GCAGCACCA-3', 反向: 5'-AACGCTTCACGAATTGCGT-3'。

### (4) 心脏功能分析

通过超声心动图检查(GE Vivid E9)以确定心脏结构和功能。在两个乳头肌之间的短轴上观察心脏,并且通过对三个连续心跳的结果求平均值,以 M 模式获得每个测量值。测量 LVID 和 LVIDd 以

确定心脏形态的结构变化。分数缩短率(%FS)的计算公式如下: $%FS = (LVIDd - LVIDs) / LVIDd \times 100$ ,其中 LVIDd 为舒张期 LV 内径,LVIDs 为收缩期 LV 内径。超声心动图软件根据 Teicholz 公式自动计算左心室射血分数(LVEF)。

### 1.4 统计学方法

采用 SPSS 22.0 统计软件对本研究数据进行分析。计量资料所均表示为平均数±标准差( $\bar{x} \pm s$ )表示。采用单因素方差分析和 LSD 检验对数据进行分析。 $P < 0.05$  认为差异具有统计学意义。

## 2 结果

### 2.1 MSCs-Exos 的特征

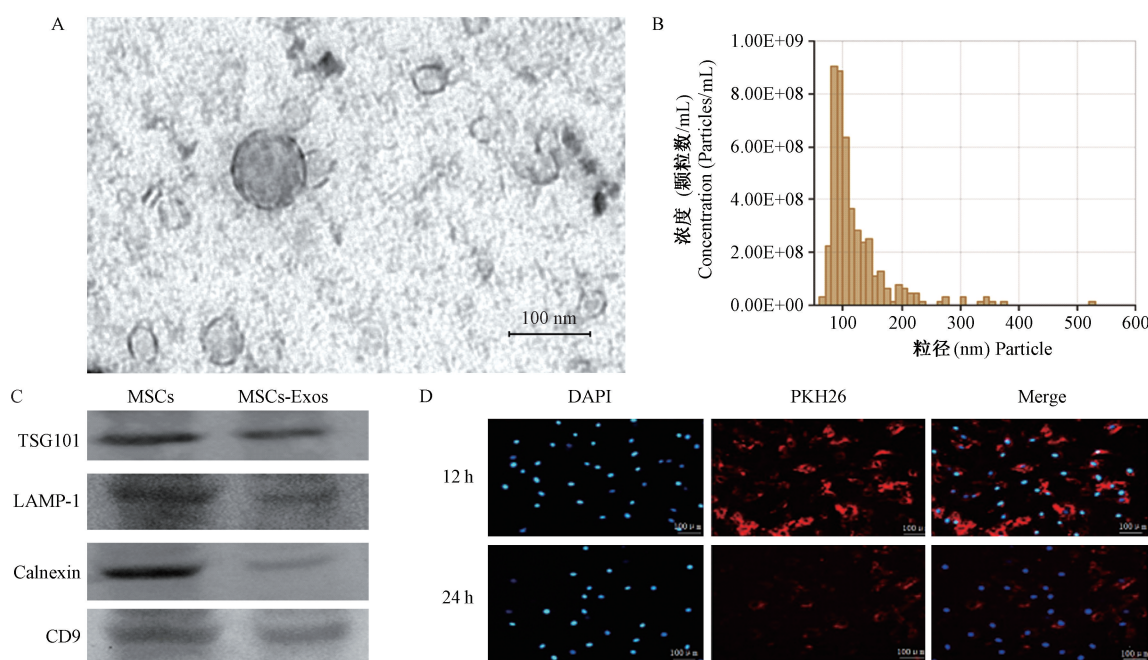
MSCs-Exos 在 TEM 下观察显示球形囊泡,呈圆形或典型的杯形(图 1A)。使用 qNano 对 MSCs-Exos 大小进行了分析,结果显示其总体分布为 40~160 nm(图 1B)。Western blot 证实了 Exos 标记物 TSG101、LAMP-1 和 CD9 高表达,而钙内毒素蛋白是内质网中的一种特殊的钙结合蛋白,在 Exos 中很少出现(图 1C)。 $H_2O_2$  刺激后 12 h,大多数 PKH26 标记的 Exos 位于 H9C2s 的细胞质中(图 1D)。上述结果表明, $H_2O_2$  刺激后, MSCs-Exos 可被内化到 H9C2s 中。

### 2.2 MSCs-Exos 增强 $H_2O_2$ 刺激后的 H9C2 细胞的活力并减少细胞凋亡和 ROS 的产生

$H_2O_2$  刺激的 H9C2s 制备体外细胞缺氧模型<sup>[13]</sup>,从而模拟 MI/RI 动物模型。与  $H_2O_2$  组相比, $H_2O_2 + MSCs$ -Exos 组细胞活力显著提高( $P < 0.05$ ),ROS 产生和细胞凋亡率显著降低( $P < 0.05$ ;与  $H_2O_2 + MSCs$ -Exos 组相比, $H_2O_2 + MSC$ -ExossimiR<sup>-21-5p</sup>组细胞活力显著降低( $P < 0.01$ ),ROS 产生和细胞凋亡率显著增加( $P < 0.01$ ); $H_2O_2 + MSC$ /scramble-Exos 组的治疗效果与  $H_2O_2 + MSCs$ -Exos 组相似(图 2)。

### 2.3 MSCs-Exos 增加了 H9C2 细胞自噬的水平

Western blot 检测显示:与  $H_2O_2$  组相比, $H_2O_2 + MSCs$ -Exos 组 LC3B-II/LC3B-I 和 LC3B-II 的表达显著增强( $P < 0.01$ ),p62 的表达显著降低( $P < 0.01$ );与  $H_2O_2 + MSCs$ -Exos 组相比, $H_2O_2 + MSC$ -ExossimiR<sup>-21-5p</sup>组的 LC3B-II/LC3B-I 和 LC3B-II 的表达显著降低( $P < 0.05$ ),p62 的表达显著增强( $P < 0.05$ ); $H_2O_2 + MSC$ /scramble-Exos 组的治疗效果与  $H_2O_2 + MSCs$ -Exos 组相似(图 3A)。



注:A;通过 TEM 分析获得的 MSCs-Exos 的代表性图像;B;对 MSCs-Exos 进行了 qNano 分析;C;Western blot 分析 MSCs-Exos 中 TSG101、LAMP-1、CD9 和钙粘蛋白表达;D;将 H9C2 与 PKH26 标记的 MSCs-Exos 共培养 12 h 和 24 h 后,通过荧光显微镜检测 MSCs-Exos 可被内化到 H9C2s 中。

图 1 MSCs-Exos 的鉴定和表征

Note. A, Representative images of MSC-Exos obtained by TEM analysis. B, qNano analysis was performed on MSC-Exos. C, Western blot analysis of TSG101, LAMP-1, CD9, and cadherin expression in SCS-Exos. D, After the co-culture of H9C2s and pkh26-labeled SCS-Exos for 12 and 24 h, fluorescence microscopy was used to detect the internalization of SCS-Exos into H9C2 cell.

Figure 1 Identification and characterization of MSC-Exos

自噬通量结果显示:与  $H_2O_2$  组比较,  $H_2O_2 +$  MSCs-Exos 组细胞中存在的 GFP-LC3 点数增加;而与  $H_2O_2 +$  MSCs-Exos 组相比,  $H_2O_2 +$  MSC-Exos miR- $^{21-5p}$  组细胞中存在的 GFP-LC3 点数显著降低( $P < 0.05$ ),如图 3B。

#### 2.4 在 MSCs-Exos 中和 MI/RI 后心肌组织中 miR-21-5p 的表达

RT-qPCR 分析结果显示:miR-21-5p 抑制剂转染可显著降低 MSCs-Exos 中 miR-21-5p 的表达( $P < 0.01$ ,图 4A)。在 miR-21-5p 抑制剂及其阴性对照治疗 MI/RI 后,结果显示 miR-21-5p 抑制剂在心肌组织中显著降低了 miR-21-5p 表达( $P < 0.01$ ,图 4B)。

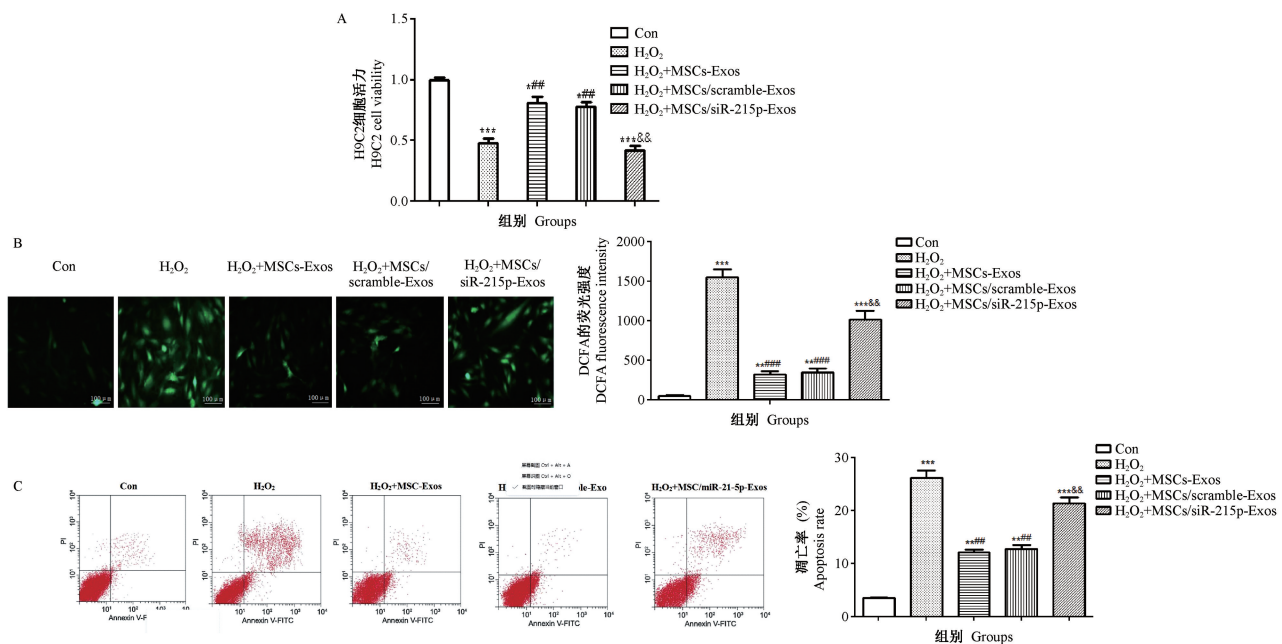
#### 2.5 MSCs-Exos 诱导的自噬减少了大鼠心肌细胞的凋亡并改善了心脏功能

与其他各组相比,MI/RI + MSCs-Exos 组的 LC3B 表达显著增强( $P < 0.01$ )(图 5A);心肌细胞凋亡显著减少( $P < 0.01$ )(图 5B);分数缩短率(%FS)和左心室射血分数(LVEF)均显著提高( $P <$

$0.05$ )(图 5C)。

#### 3 讨论

由于忙碌的生活和工作,越来越多的人不注重自己的饮食习惯,摄入各种高脂肪食物后,其高胆固醇血症发生的概率显著增加,甚至会演变为动脉粥样硬化,进而引起冠状动脉狭窄。当冠脉内斑块脱落时,则易发生心肌梗死、急性心梗等疾病,用药物干预、冠状动脉支架、冠状动脉搭桥等方法可以挽救患者的生命。而当发生心肌缺血时,有数亿的心肌细胞发生急性坏死,以上治疗方法并不能促使心肌的修复和再生。近年来,干细胞移植成为治疗缺血性心脏病的研究热点之一,间充质干细胞具有分化为心肌细胞的能力,具有补偿缺血坏死的心肌细胞的作用。大量研究表明,干细胞分泌的 Exos 有多种生物活性,包括修复心肌、促进血管新生、促进神经再生<sup>[14-15]</sup>。外泌体中含有 mRNA、miRNA 以及各种抗凋亡和促血管生成因子,能诱导成纤维细胞迁移、增殖及胶原合成<sup>[16]</sup>。且外泌体能传递 miRNA

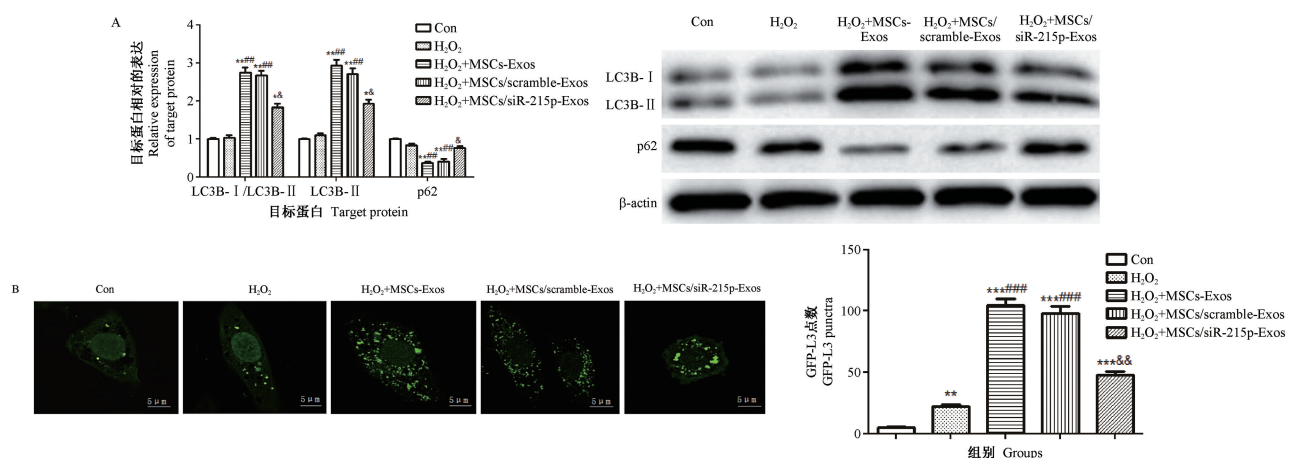


注: A: 通过 CCK-8 评估细胞活力; B: 通过荧光显微镜评估 ROS 的产生情况; C: 通过 FCM 检测 H9C2 细胞凋亡情况; 与对照组相比, \*P<0.05, \*\*P<0.001; 与 H<sub>2</sub>O<sub>2</sub> 组相比, #P<0.01, ##P<0.001; 与 H<sub>2</sub>O<sub>2</sub>+MSCs-Exos 组相比, &P<0.01, &&P<0.001。下图同。

图 2 MSCs-Exos 对 H9C2 细胞的活力, H<sub>2</sub>O<sub>2</sub> 诱导的细胞凋亡和 ROS 产生的影响

Note. A, Cell viability was assessed by the CCK-8 assay. B, Evaluation of ROS production by fluorescence microscopy. C, The apoptosis of H9C2 cells was detected by FCM. Compared with the control group, \* P<0.05, \*\* P<0.001. Compared with the H<sub>2</sub>O<sub>2</sub> group, #P<0.01, ##P<0.001. Compared with the H<sub>2</sub>O<sub>2</sub>+MSCs-Exos group, &P<0.01, &&P<0.001. The same as below.

Figure 2 Effect of SCS-Exos on H9C2 cell viability, H<sub>2</sub>O<sub>2</sub>-induced apoptosis, and ROS production

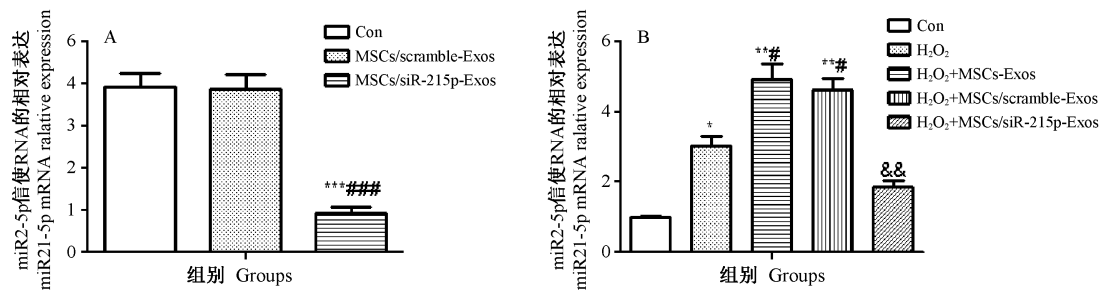


注: A: MSCs-Exos 对 H9C2 细胞自噬标记物 p62 和 LC3 蛋白表达的影响; B: 用 GFP-LC3 质粒转染 H9C2 细胞, 然后在共聚焦荧光显微镜下观察 LC3 点。条形图显示每个细胞的 GFP 点数。

图 3 MSCs-Exos 对 H9C2 细胞自噬水平的影响

Note. A, The effect of SCS-Exos on the expression of autophagy markers p62 and LC3 in H9C2 cells. B, H9C2 cells were transfected with a GFP-LC3 plasmid, and LC3 puncta were observed under a confocal fluorescence microscope. The bar graph shows the number of GFP points per cell.

Figure 3 Effect of SCS-Exos on the autophagy level in H9C2 cells

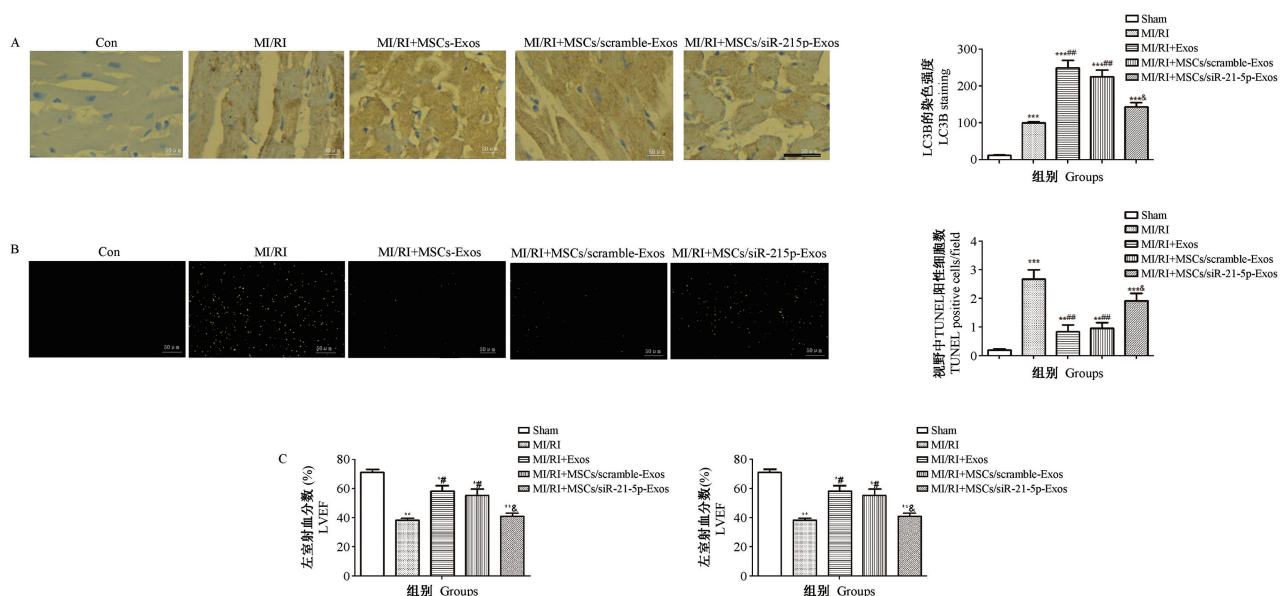


注:A:用 miR-21-5p 抑制剂及其阴性对照转染后 MSCs-Exos 中的 miR-21-5p 表达;B:MSCs-Exos 和 miR-21-5p 抑制剂处理后在心肌组织中的 miR-21-5p 表达( $n=4$ )。与对照组相比, \*  $P<0.05$ , \*\*  $P<0.01$ ;与 MSC/scramble-Exos 组或 MI/RI 组相比, #  $P<0.05$ , ##  $P<0.001$ ;与 MI/RI+MSCs-Exos 组相比, &&  $P<0.01$ 。

图 4 在 MSCs-Exos 中和 MI/RI 后心肌组织中 miR-21-5p 的表达

Note. A, miR-21-5p was expressed in MSC exos after transfection with miR-21-5p inhibitor and its negative control. B, Expression of miR-21-5p in the myocardium after MSC exos and miR-21-5p inhibitor treatment ( $n=4$ ). Compared with the control group, \*  $P<0.05$ , \*\*  $P<0.01$ , #  $P<0.05$ , ##  $P<0.001$ . Compared with the MI/RI + MSCs-exos group, \*\*  $P<0.01$ , &&  $P<0.01$ .

Figure 4 Expression of miR-21-5p in the myocardium after MSCs-exos and MI/RI



注:A:每组心肌组织中 LC3B 的免疫组织化学染色;B:TUNEL 染色用于分析 MSCs-Exos 和 MSC-Exos miR-21-5p 对 MI/RI 后凋亡细胞(凋亡细胞染成绿色)的影响;C:通过超声心动图测量各组大鼠的心脏功能。与对照组相比, \*  $P<0.05$ , \*\*  $P<0.01$ , \*\*\*  $P<0.001$ ;与 MI/RI 组相比, #  $P<0.05$ , ##  $P<0.01$ ;与 MI/RI+MSCs-Exos 组相比, &  $P<0.05$ 。

图 5 miR-21-5p 诱导的自噬对 MI/RI 大鼠细胞凋亡和心脏功能。

Note. A, Immunohistochemical staining of LC3b in the myocardium of each group. B, TUNEL staining was used to analyze the effect of MSCs-Exos and MSC-Exos miR-21-5p on the apoptosis of cells after MI/RI. C, Cardiac function was measured by echocardiography. Compared with the control group, \*  $P<0.05$ , \*\*  $P<0.01$ , \*\*\*  $P<0.001$ . Compared with the MI/RI group, \*  $P<0.05$ , \*\*  $P<0.01$ . Compared with the MI/RI + MSCs-Exos group, &  $P<0.05$ .

Figure 5 Autophagy induced by miR-21-5p can enhance apoptosis and cardiac function in MI/RI rats

至靶细胞,发挥促进组织再生作用<sup>[17]</sup>。而 miR-21-5p 具有促进细胞增值和迁移的功能<sup>[18]</sup>。心肌 I/R 损伤病理机制研究的不断完善,有助于对相关治疗靶点更加深入探索。I/R 损伤涉及炎症因子的释放、氧化应激、自由基损伤、自噬及细胞凋亡等病理生理过程<sup>[19-20]</sup>。miR-21-5p 可作为糖尿病性心肌病的候选治疗靶标,也是治疗脑外伤炎症的重要探索方向<sup>[21-22]</sup>。在 MI/RI 期间,主要是从线粒体运输链中产生了过量的 ROS,过量的 ROS 通过各种机制导致细胞死亡<sup>[23]</sup>。

本研究显示了 H<sub>2</sub>O<sub>2</sub> 诱导的 ROS 降低 H9C2 细胞活力并增加细胞凋亡。暴露于 H<sub>2</sub>O<sub>2</sub> 12 h 后,H9C2s 中的自噬通量被阻滞,这与细胞凋亡率显著增加是一致的,说明缺氧或缺血性损伤后自噬的增强对心肌有保护作用,心肌自噬减少了心肌细胞的凋亡并改善了心肌细胞的存活,心肌细胞自噬的上调减弱了 MI/RI<sup>[24-27]</sup>。本研究通过抑制 MSCs-Exos 中的 miR-21-5p 表达,发现其可显著逆转 MSCs-Exos 对自噬、细胞凋亡和心脏功能的作用。上述结果表明 MSCs-Exos 可能通过 miR-21-5p 调节自噬保护免受 H<sub>2</sub>O<sub>2</sub> 诱导的 H9C2 细胞损伤,同时介导大鼠 MI/RI 后的心脏自噬作用,当 MSCs-Exos 注射入 MI/RI 大鼠模型时,自噬增加,凋亡减小,心脏功能得到改善。

综上所述, MSCs-Exos 可保护 H<sub>2</sub>O<sub>2</sub> 诱导的 H9C2 细胞凋亡,其可能作用机制为 miR-21-5p 参与 MSCs-Exos 诱导的心肌自噬来实现保护 MI/RI 损伤<sup>[28-32]</sup>。这些发现可能为利用 miR-21-5p 在优化未来基于干细胞的心脏病治疗中的作用开辟新的研究方向。

#### 参考文献:

- [ 1 ] Sezaki A, Imai T, Miyamoto K, et al. Mediterranean diet score and incidence of IHD: a global comparative study [ J ]. Public Health Nutr, 2019, 22(8): 1444-1450.
- [ 2 ] Cao B, Wang H, Zhang C, et al. Remote ischemic postconditioning ( RIPC ) of the upper arm results in protection from cardiac ischemia-reperfusion injury following primary percutaneous coronary intervention ( PCI ) for acute ST-segment elevation myocardial infarction ( STEMI ) [ J ]. Med Sci Monit, 2018, 24: 1017-1026.
- [ 3 ] Yu Z, Wang S, Zhang X, et al. Pterostilbene protects against myocardial ischemia/reperfusion injury via suppressing oxidative/nitrative stress and inflammatory response [ J ]. Int Immunopharmacol, 2017, 43: 7-15.
- [ 4 ] Tarasov MV, Kotova PD, Bystrova MF, et al. Arachidonic acid hyperpolarizes mesenchymal cells from the human adipose tissue by stimulating TREK1 K<sup>+</sup> channels [ J ]. Channels ( Austin ), 2019, 13(1): 36-47.
- [ 5 ] Lai RC, Arslan F, Lee MM, et al. Exosome secreted by MSC reduces myocardial ischemia/reperfusion injury [ J ]. Stem Cell Res, 2010, 4(3): 214-222.
- [ 6 ] Akyurekli C, Le Y, Richardson RB, et al. A systematic review of preclinical studies on the therapeutic potential of mesenchymal stromal cell-derived microvesicles [ J ]. Stem Cell Rev Rep, 2015, 11(1): 150-160.
- [ 7 ] 李汉成, 周玉婷, 李婵, 等. 外泌体源性微小 RNA 在疾病诊治中的研究现状 [ J ]. 中国临床药理学杂志, 2017, 33(24): 2646-2648, 2652.
- [ 8 ] Ong SB, Katwadi K, Kwek XY, et al. Non-coding RNAs as therapeutic targets for preventing myocardial ischemia-reperfusion injury [ J ]. Expert Opin Ther Targets, 2018, 22(3): 247-261.
- [ 9 ] Mayourian J, Ceholski DK, Gorski PA, et al. Exosomal microRNA-21-5p mediates mesenchymal stem cell paracrine effects on human cardiac tissue contractility [ J ]. Circ Res, 2022(7): 933-944.
- [ 10 ] 肖杨, 吴青青, 昌薇, 等. 自噬在结构性心脏病中的作用及机制 [ J ]. 中华医学杂志, 2017, 97(33): 2635-2637.
- [ 11 ] 刘中, 产进中, 潘永露, 等. 吗啡预处理诱导的大鼠血清外泌体对 H9C2 心肌细胞缺氧/复氧损伤的影响 [ J ]. 中国药理学通报, 2018, 34(11): 1600-1605.
- [ 12 ] 刘丹, 张永慧, 金良友, 等. 柚皮苷对大鼠心肌缺血/再灌注损伤细胞凋亡的影响及作用机制 [ J ]. 中国生物制品学杂志, 2018, 31(8): 846-848, 852.
- [ 13 ] Zhang HS, Liu MF, Ji XY, et al. Gastrodin combined with rhynchophylline inhibits cerebral ischaemia-induced inflammasome activation via upregulating miR-21-5p and miR-331-5p [ J ]. Life Sci, 2019, 239: 116935.
- [ 14 ] Zhang B, Wu X, Zhang X, et al. Human umbilical cord mesenchymal stem cell exosomes enhance angiogenesis through the Wnt4/β-catenin pathway [ J ]. Stem Cells Transl Med, 2015, 4(5): 513-522.
- [ 15 ] Ma J, Zhao Y, Sun L, et al. Exosomes derived from akt-modified human umbilical cord mesenchymal stem cells improve cardiac regeneration and promote angiogenesis via activating platelet-derived growth factor D [ J ]. Stem Cells Transl Med, 2017, 6(1): 51-59.
- [ 16 ] Roxșea AM, Tuțuiu R, Titorenco ID. Mesenchymal stromal cells derived exosomes as tools for chronic wound healing therapy [ J ]. Rom J Morphol Embryol, 2018, 59(3): 655-662.
- [ 17 ] Shao L, Zhang Y, Lan B, et al. MiRNA-sequence indicates that mesenchymal stem cells and exosomes have similar mechanism to enhance cardiac repair [ J ]. Biomed Res Int, 2017, 2017: 4150705.
- [ 18 ] Joanne MD, William LJ, Alexander VU, et al. Transcriptional profiling and metabolomic analysis of *Staphylococcus aureus* grown on autoclaved chicken breast [ J ]. Food microbiology, 2019, 82: 46-52.

- [19] 潘艳艳, 史斌浩, 马梦晴, 等. GSK3 $\beta$  在 HGF 信号通路中对改善心肌缺血再灌注损伤的作用研究 [J]. 重庆医学, 2019, 48(13): 2184-2188.
- [20] Datta A, Akatsu H, Heese K, et al. Quantitative clinical proteomic study of autopsied human in farcted brain specimens to elucidate the deregulated pathways in ischemic stroke pathology [J]. J Proteomics, 2013, 91: 556-568.
- [21] Zhao J, Liu B, Li C. Knockdown of long noncoding RNA GAS5 protects human cardiomyocyte-like AC16 cells against high glucose-induced inflammation by inhibiting miR-21-5p-mediated TLR4/NF- $\kappa$ B signaling [J]. Naunyn Schmiedebergs Arch Pharmacol, 2019.
- [22] Yin Z, Han Z, Hu T, et al. Neuron-derived exosomes with high miR-21-5p expression promoted polarization of M1 microglia in culture [J]. Brain Behav Immun, 2020, 83: 270-282.
- [23] Elnakish MT, Hassanain HH, Janssen PM, et al. Emerging role of oxidative stress in metabolic syndrome and cardiovascular diseases: important role of Rac/NADPH oxidase [J]. J Pathol, 2013, 231(3): 290-300.
- [24] 陈华, 莫新玲, 何学恕, 等. 缺血/再灌注大鼠心肌 PPAR- $\gamma$  表达变化对再灌注心律失常的影响 [J]. 重庆医学, 2017, 46(17): 2313-2315.
- [25] Dai S, Xu Q, Liu S, et al. Role of autophagy and its signaling pathways in ischemia/reperfusion injury [J]. Am J Transl Res, 2017, 9(10): 4470-4480.
- [26] Lin XL, Xiao WJ, Xiao LL, et al. Molecular mechanisms of autophagy in cardiac ischemia/reperfusion injury (Review) [J]. Mol Med Rep, 2018, 18(1): 675-683.
- [27] 赵伟, 王永伟, 韦冠山, 等. PARP-1 介导的自噬流受阻在大鼠心肌细胞缺血再灌注损伤中的作用 [J]. 南方医科大学学报, 2018, 38(8): 975-980.
- [28] Ling Y, Chen G, Deng Y, et al. Polydatin post-treatment alleviates myocardial ischemia/reperfusion injury by promoting autophagic flux [J]. Clin Sci, 2016, 130(18): 1641-1653.
- [29] Huang NF, Lam A, Fang Q, et al. Bone marrow-derived mesenchymal stem cells in fibrin augment angiogenesis in the chronically infarcted myocardium [J]. Regen Med, 4(4): 527-538.
- [30] Yu B, Kim HW, Gong M, et al. Exosomes secreted from GATA-4 overexpressing mesenchymal stem cells serve as a reservoir of anti-apoptotic microRNAs for cardioprotection [J]. Int J Cardiol, 2015, 182: 349-360.
- [31] Yang Y, Li Y, Chen X, et al. Exosomal transfer of miR-30a between cardiomyocytes regulates autophagy after hypoxia [J]. J Mol Med (Berl), 94(6): 711-724.
- [32] Wang C, Tang Y, Wang Y, et al. Label-free quantitative proteomics identifies Smarca4 is involved in vascular calcification [J]. Ren Fail, 2019, 41(1): 220-228.

[收稿日期] 2019-11-11